

## フランジを有する扇形腹板の座屈について

正員 渡辺 昇 \*  
 学生員 川上 淳 \*\*  
 学生員 ○堺 孝司 \*\*\*

## 1 まえがき

本研究は、扇形平板の座屈問題を取り扱ったもので、その断面は、工一形とした。フランジをシェルとして解析し、そのフランジから腹板への力の作用を考慮し、扇形腹板の座屈を検討した。

## 2 板 定

- i). 材料は *Hooke* の法則を適用出来る等方等質である。
- ii). 平板は、周辺単純支持である。
- iii). 荷重載荷位置は、板の中央面である。
- iv). 板の半径方向の補剛は、板の中央面に対して対称になされ、補剛材のねじり剛性は無視する。
- v). 平面応力状態を基礎としてシャイベの計算を行う。
- vi). 板は、*Kirchhoff* の板の理論による。

vii). I - 断面を有する扇形平板の応力を見つける際、フランジは円筒シェルとして考えた。

## 3 記 号

$E$  : 弹性係数、 $\mu$  : ポアソン比、 $h$  : 板厚

$$\Delta = \frac{\partial^2}{\partial r^2} + \frac{1}{r} \frac{\partial}{\partial r} + \frac{\partial^2}{r^2} \quad : \text{極座標におけるラプラス演算子。}$$

$$K = Eh^3 / 12(1-\mu^2) \quad : \text{板剛度}$$

$t_i$ 、 $b_i$  : フランジの厚さ及び幅。

$P_{BK}$ 、 $P_{AK}$  :  $r=B$ 、 $r=A$  における荷重状態  $k$  でのフランジからウェブに作用する力。

$$T_i = EI_i / K(B-A), EI_i : \text{半径方向補剛材 } i \text{ の曲げ剛性。}$$

$C_{i,k}$  : 荷重状態  $k$  におけるシャイベの解の定数。

$M_{so}$ ,  $N_{so}$  : 腹板の  $\varphi=0$  における断面力。

$M_o$ ,  $N_o$ ,  $S_o$  : I - 断面を有する  $\varphi=0$  での三つの荷重状態による全断面力。

$$P = \bar{p} \cdot M_{so} / B^2 h, C_{i,k} = \bar{C}_{i,k} \cdot M_{so} / h$$

## 4 三つの荷重状態とその応力

図-1～図-3 を参照して  $N_{so}$ ,  $Q_o$ ,  $N_o$  を次の如く定義する。

$$N_{so} = \xi \cdot M_{so} / B, Q_o = \psi \cdot M_{so} / B = \beta \cdot M_o / (B-A), N_o = \nu \cdot M_o / (B-A)$$

$$\text{但し, } M_{so} = M_s^1 + M_{sp}^3, N_{so} = N_s^1 + N_{sp}^3$$

又、三つの荷重状態による応力は

$$\sigma_\varphi = \frac{M_{so}}{B^2 h} \left\{ \left[ -\frac{C_{11}}{(\gamma/B)^2} + (2C_{31} - C_{11} - P_{B1}) + 2C_{31} \ln \frac{\gamma}{B} \right] + \left[ \frac{C_{31}}{\gamma/B} + \frac{2C_{12}}{(\gamma/B)^3} + 6C_{22} \cdot \frac{\gamma}{B} \right] \sin \varphi \right. \\ \left. + \left[ \frac{C_{33}}{\gamma/B} + \frac{2C_{13}}{(\gamma/B)^3} + 6 \cdot C_{23} \cdot \frac{\gamma}{B} \right] \cos \varphi \right\}$$

$$\tau_{xy} = \frac{M_{so}}{B^2 h} \left\{ \left[ -\frac{C_{32}}{\gamma/B} - \frac{2C_{12}}{(\gamma/B)^3} + 2C_{22} \cdot \frac{\gamma}{B} \right] \cos \varphi + \left[ \frac{C_{33}}{\gamma/B} - \frac{2C_{13}}{(\gamma/B)^3} + 2C_{23} \cdot \frac{\gamma}{B} \right] \sin \varphi \right\}$$

\* 北海道大学工学部教授

\*\* 北海道大学大学院博士課程

\*\*\* 北海道大学大学院修士課程

$$\sigma_r = \frac{M_{so}}{B^2 h} \left\{ \left[ \frac{C_{11}}{(\gamma/B)^2} - (C_{11} + P_{B1}) + 2C_{31} \ln \frac{\gamma}{B} \right] + \left[ \frac{C_{32}}{\gamma/B} - \frac{2C_{12}}{(\gamma/B)^3} + 2C_{22} \frac{\gamma}{B} \right] \sin \varphi \right. \\ \left. + \left[ \frac{C_{33}}{\gamma/B} - \frac{2C_{13}}{(\gamma/B)^3} + 2C_{23} \frac{\gamma}{B} \right] \cos \varphi \right\}$$

ここで、 $\bar{C}_{i,k}$ は次の如くである。

$$C_{11} = \frac{d^2 \{ 4 \ln d [1 + \frac{\gamma}{B} (\xi + \bar{p}_{B1} - d \bar{p}_{A1}) - (\bar{p}_{B3} - d^2 \bar{p}_{A3}) ] + (1 - d^2) (\bar{p}_{A1} - \bar{p}_{B1}) + 2 \ln d (p_{B1} - d^2 P_{A1}) \}}{4 d^2 (\ln d)^2 - (1 - d^2)^2}$$

$$C_{21} = \frac{1}{4 \ln d} \{ \bar{C}_{11} (1 - d^2 - 2 d^2 \ln d) - [\bar{p}_{B1} (1 + 2 \ln d) - \bar{p}_{A1}] \}$$

$$C_{31} = \frac{1}{2 \ln d} \{ - (\frac{1}{d^2} - 1) C_{11} + (\bar{p}_{B1} - \bar{p}_{A1}) \}$$

$$C_{12} = \frac{d^2 \{ \psi + \frac{1}{2} (- \bar{p}_{B2} + d \bar{p}_{A2}) - \frac{d \ln d}{1 - d^2} (\bar{p}_{B2} \cdot d - \bar{p}_{A2}) \}}{2 (\ln d (1 + d^2) + (1 - d^2))}$$

$$C_{22} = - \frac{C_{12}}{d^2} - \frac{(\bar{p}_{B2} - d \bar{p}_{A2})}{2 (1 - d^2)}$$

$$C_{32} = 2 (1 + \frac{1}{d^2}) C_{12} + \frac{d}{1 - d^2} (d \bar{p}_{B2} - \bar{p}_{A2})$$

$$C_{13} = - \frac{d^2 \{ \xi - (d \bar{p}_{A1} - \bar{p}_{B1}) + \frac{3}{2} (- \bar{p}_{B3} + d \bar{p}_{A3}) + \frac{d \ln d}{1 - d^2} (\bar{p}_{A3} - d \bar{p}_{B3}) \}}{2 (\ln d (1 + d^2) + (1 - d^2))}$$

$$C_{23} = - \frac{C_{13}}{d^2} - \frac{(\bar{p}_{B3} - d \bar{p}_{A3})}{2 (1 - d^2)}, \quad C_{33} = 2 (1 + \frac{1}{d^2}) C_{13} - \frac{d}{1 - d^2} (d \bar{p}_{B3} - \bar{p}_{A3})$$

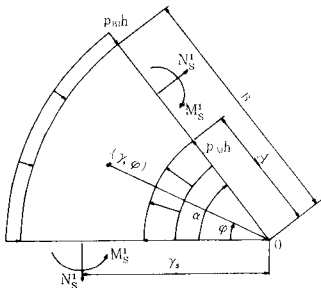


図-1

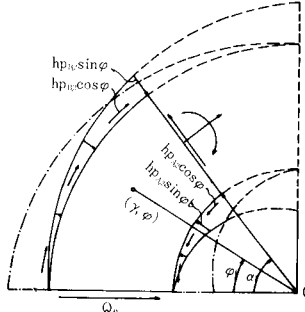


図-2

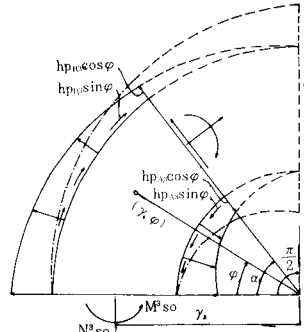


図-3

## 5 Ritzの方法による解析

座屈曲面を(2)式と仮定する。

$$w(\rho, \varphi) = \sum_{m=1}^M \sum_{n=1}^N A_{mn} \sin \frac{m\pi\varphi}{\alpha} \sin \frac{n\pi\rho}{\rho_d} \quad (2)$$

但し、 $r/B = e^\ell$ ,  $\ell d = \ln d$

次に、扇形平板のポテンシャルエネルギーは

$$\delta^2 II = \frac{1}{2} \int_a^b \int_0^\alpha \left\{ (n_r (\dot{w})^2 + n_\varphi (\frac{1}{\gamma} \dot{w})^2 + 2 \cdot n_{r\varphi} (\frac{1}{\gamma} w' \dot{w})) + K ((\Delta w)^2 - 2(1-\mu) \times \right. \\ \left. \times (w'' \langle \frac{1}{\gamma^2} \ddot{w} + \frac{1}{\gamma} w' \rangle - \langle \frac{1}{\gamma} w'' - \frac{1}{\gamma^2} w'^2 \rangle) \right\} \gamma \cdot d\varphi \cdot d\gamma = 0 \quad (3)$$

$$\text{但し}, \quad w' = \frac{\partial w}{\partial \gamma}, \quad \dot{w} = \frac{\partial w}{\partial \varphi}$$

ポテンシャルエネルギーを最小とする係数行列式を求め

ると

$$\frac{\partial \delta^2 \Pi}{\partial A_{mm}} = 0 \quad (4)$$

すなわち

$$\begin{aligned} & \left\{ \sum_q A_m q \cdot R_{mn} m n q + \sum_p \sum_q A_p q \cdot S_{mnpq} \right\} - k_m \left\{ A_{mn} \cdot B_{mn}^{(1)} + \sum_q A_m q \cdot B_{mn}^{(2)} q \right. \\ & \quad \left. + \sum_q A_m q \cdot B_{mn}^{(3)} q + \sum_p \sum_q A_p q \cdot B_{mnpq}^{(4)} \right\} = 0 \end{aligned} \quad (5)$$

ここで

$$\begin{aligned} R_{mn} m n q &= \alpha \frac{n q \left( \frac{\pi}{\rho_d} \right)^2 \left[ 1 - (-1)^{n+q} d^2 \right]}{\left( 4 + \frac{(n-q)^2 \pi^2}{\rho_d^2} \right) \left( 4 + \frac{(n+q)^2 \pi^2}{\rho_d^2} \right)} \times \left\{ 4 \left( \frac{m \pi}{\alpha} \right)^2 + \left( \frac{n \pi}{\rho_d} \right)^2 \right\} \left[ \left( \frac{m \pi}{\alpha} \right)^2 + \left( \frac{q \pi}{\rho_d} \right)^2 \right] \\ & + \left[ (n^2 - q^2) \left( \frac{\pi}{\rho_d} \right)^4 + 8(n^2 + q^2) \left( \frac{\pi}{\rho_d} \right)^2 + 16 \right] \} \\ S_{mnpq} &= 2(1-d) n q \left( \frac{\pi}{\rho_d} \right)^2 \left[ 1 - (-1)^{n+q} d^{-2} \right] \times \frac{27 + 12(n^2 + q^2) \left( \frac{\pi}{\rho_d} \right)^2 + 6 n^2 q^2 \left( \frac{\pi}{\rho_d} \right)^4 + (n^2 - q^2) \left( \frac{\pi}{\rho_d} \right)^4}{\left( 9 + \frac{(n-q)^2 \pi^2}{\rho_d^2} \right) \left( 9 + \frac{(n+q)^2 \pi^2}{\rho_d^2} \right)} \times \end{aligned}$$

$$\sum_{i=1} \gamma_i \cdot \sin \frac{m \pi \varphi_i}{\alpha} \cdot \sin \frac{p \pi \varphi_i}{\alpha}$$

$$B_{mn}^{(1)} m n m n = -\frac{\rho_d}{2} \alpha \cdot \left\{ \left( \frac{m \pi}{\alpha} \right)^2 [2 C_{31} (1 + \frac{\rho_d}{2}) - C_{11} - P_{B1}] + \left( \frac{n \pi}{\rho_d} \right)^2 [C_{31} \rho_d - C_{11} - P_{B1}] \right\}$$

$$\begin{aligned} B_{mn}^{(2)} m n m q &= \alpha \cdot C_{11} \left[ 1 - (-1)^{n+q} d^{-2} \right] \times \left\{ \left( \frac{m \pi}{\alpha} \right)^2 \left( \frac{1}{4 + \frac{(n-q)^2 \pi^2}{\rho_d^2}} - \frac{1}{4 + \frac{(n+q)^2 \pi^2}{\rho_d^2}} \right) \right. \\ & \quad \left. - n q \left( \frac{\pi}{\rho_d} \right)^2 \left( \frac{1}{4 + \frac{(n-q)^2 \pi^2}{\rho_d^2}} - \frac{1}{4 + \frac{(n+q)^2 \pi^2}{\rho_d^2}} \right) \right\} \end{aligned}$$

$$B_{mn}^{(3)} m n m q = 2 \alpha C_{31} \left\{ \left( \frac{m \pi}{\alpha} \right)^2 \left( \frac{1}{\rho_d^2} - \frac{1}{\rho_d^2} \right) + n q \left( \frac{\pi}{\rho_d} \right)^2 \left( \frac{1}{\rho_d^2} + \frac{1}{\rho_d^2} \right) \right\}$$

$$B_{mnpq}^{(4)} = \frac{1}{2} \left\{ C_{32} \left[ 1 - (-1)^{m+p} \cos \alpha \right] + C_{33} \left[ (-1)^{m+p} \sin \alpha \right] \cdot \left[ 1 - d^{-1} (-1)^{n+q} \right] \times \right.$$

$$\left. \times \left\{ \begin{aligned} & \left( P_{mp} + Q_{mp} \right) m \cdot p \left( \frac{\pi}{\alpha} \right)^2 (F_{na} - H_{na}) + \left( P_{mp} - Q_{mp} \right) \cdot n \cdot q \cdot \left( \frac{\pi}{\rho_d} \right)^2 (F_{na} - H_{na}) - \\ & - \left( \frac{\pi}{\alpha} \right)^2 \left( \frac{\pi}{\rho_d} \right)^2 \left[ m \cdot q (m-p) \cdot P_{mp} - (m+p) Q_{mp} \right] [(n-q) F_{na} + (n+q) H_{na}] + \\ & + n \cdot p [(m-p) P_{mp} + (m+p) Q_{mp}] [(n-q) F_{na} - (n+q) H_{na}] \end{aligned} \right\} \right\}$$

$$+ \{ C_{12} \left[ 1 - (-1)^{m+q} \cos \alpha \right] + C_{31} \left[ (-1)^{m+p} \sin \alpha \right] \cdot \left[ 1 - d^{-3} (-1)^{n+q} \right] \times$$

$$\left. \times \left\{ \begin{aligned} & 3(Pm, p + Qm, p) \cdot \left( \frac{\pi}{\alpha} \right)^2 \left( \frac{1}{9 + \frac{(n-q)^2 \pi^2}{\rho_d^2}} - \frac{1}{9 + \frac{(n+q)^2 \pi^2}{\rho_d^2}} \right) - \\ & - 3(Pm, p - Qm, p) \cdot n \cdot q \cdot \left( \frac{\pi}{\rho_d} \right)^2 \cdot \left( \frac{1}{9 + \frac{(n-q)^2 \pi^2}{\rho_d^2}} - \frac{1}{9 + \frac{(n+q)^2 \pi^2}{\rho_d^2}} \right) + \\ & + \left( \frac{\pi}{\alpha} \right)^2 \left( \frac{\pi}{\rho_d} \right)^2 [m \cdot q \cdot ((m-p) Pm, p - (m+p) Qm, p) \left( \frac{n+q}{9 + \frac{(n+q)^2 \pi^2}{\rho_d^2}} + \frac{n-q}{9 + \frac{(n-q)^2 \pi^2}{\rho_d^2}} \right) - \\ & - n \cdot p [(m-p) Pm, p + (m+p) Qm, p] \left( \frac{n+q}{9 + \frac{(n+q)^2 \pi^2}{\rho_d^2}} - \frac{n-q}{9 + \frac{(n-q)^2 \pi^2}{\rho_d^2}} \right)] \end{aligned} \right\} \right\}$$

$$+ \{ \bar{C}_{22} [1 - (-1)^{m+p} \cdot \cos \alpha] + \bar{C}_{23} \cdot (-1)^{m+p} \cdot \sin \alpha \} \cdot [1 - (-1)^{n+q} \cdot d] \times \\ \times \left\{ -3 (Pm, p + Qm, p) \cdot m \cdot p \left(\frac{\pi}{\alpha}\right)^2 (Fn, q - Hn, q) - (Pm, p - Qm, p) \cdot n \cdot q \left(\frac{\pi}{\rho_d}\right)^2 (Fn, q + Hn, q) - \right. \\ \left. - \left( \frac{\pi}{\alpha} \right)^2 \left( \frac{\pi}{\rho_d} \right)^2 \begin{bmatrix} m \cdot q [(m-p) \cdot Pm, p - (m+p) \cdot Qm, p] [(n+q) \cdot Hn, q + (n-q) \cdot Fn, q] - \\ - n \cdot p [(m-p) \cdot Pm, p + (m+p) \cdot Qm, p] [(n+q) \cdot Hn, q - (n-q) \cdot Fn, q] \end{bmatrix} \right\}$$

ここで

$$Pm, p = \frac{1}{(m-p)^2 \left(\frac{\pi}{\alpha}\right)^2 - 1} \quad Qm, p = \frac{1}{(m+p)^2 \left(\frac{\pi}{\alpha}\right)^2 - 1}$$

$$Fn, q = \frac{1}{(n-q)^2 \left(\frac{\pi}{\rho_d}\right)^2 + 1} \quad Hn, q = \frac{1}{(n+q)^2 \left(\frac{\pi}{\rho_d}\right)^2 + 1}$$

## 6 I-形断面を有する扇形腹板の座屈

シャイペの問題としての腹板の変形は

$$u^{stege} = \frac{1}{EB} \{- \bar{C}_{11} (1+\mu) \frac{1}{\gamma/B} + 2\bar{C}_{21} (1-\mu) \frac{\gamma}{B} + \bar{C}_{31} \frac{\gamma}{B} [-(1+\mu) + 2(1-\mu) \ln \frac{\gamma}{B}] \}$$

フランジをシェルとして解くと（図-4参照）、その変形は

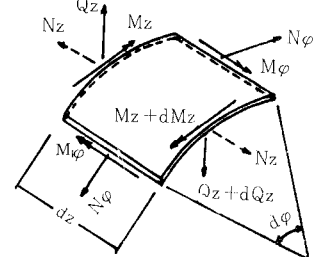


図-4

$$u^{gurt} = K_1 \cosh \frac{\lambda_1 z}{\gamma_{ci}} \cos \frac{\lambda_1 z}{\gamma_{ci}} + K_2 \cosh \frac{\lambda_2 z}{\gamma_{ci}} \sin \frac{\lambda_2 z}{\gamma_{ci}} + K^3 \sinh \frac{\lambda_3 z}{\gamma_{ci}} \cos \frac{\lambda_3 z}{\gamma_{ci}} \\ + K^4 \sinh \frac{\lambda_4 z}{\gamma_{ci}} \sin \frac{\lambda_4 z}{\gamma_{ci}} - \frac{4C_{31} \gamma_{ci}}{EB^2}$$

但し

$$\gamma_{c1} = B + t_1/2 \quad \lambda_1 = \sqrt[3]{3(1-\mu^2)} \cdot \sqrt{\gamma_{c1}/t_1}$$

$$\gamma_{c2} = B - t_2/2 \quad \lambda_2 = \sqrt[3]{3(1-\mu^2)} \cdot \sqrt{\gamma_{c2}/t_2}$$

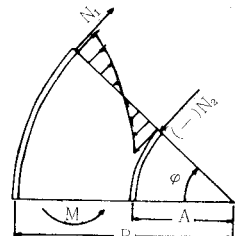


図-5

次に、フランジと腹板との境界条件は

$$I) \quad u^{gurt} = u^{stege}$$

$$II) \quad Q_z = \mp \frac{1}{2} \cdot \sigma_r (\gamma = \gamma_c \mp t/2) \cdot h \cdot \frac{\gamma_c \mp t/2}{\gamma_c}$$

(- : 外フランジ、+ : 内フランジ)

III) 鈎り合い条件（図-5 参照）

$$N_1 \cdot \bar{B} + N_2 \cdot \bar{A} + h \int_A^n \gamma \cdot \sigma r d\gamma = \bar{M}$$

但し

$$G_1 = 4d^2 \{(1-\mu)^2 lnd - (1-\mu) \left( \frac{t_1}{B} + \frac{t_2}{dB} + (1-\mu) lnd \right) + \\ + \chi_2 \left( 1 + \frac{t_1}{B} - (1-\mu) lnd \right) - \chi_1 \cdot \chi_2 \cdot lnd \}$$

$$G_2 = -(1-\mu) \{(3-\mu)(1-d^2) + 2 \left( \frac{t_1}{B} + \frac{dt_2}{B} \right) - 2d^2(1-\mu) \\ lnd\} - \chi_1 \{(1+\mu) + (3-\mu)d^2 - \\ - 2 \frac{dt_2}{B} + 2d^2(1-\mu)lnd\} - \chi_2 \{(3-\mu) + \frac{2t_1}{B} + d^2(1+\mu) \\ (1+2lnd)\} - \chi_1 \cdot \chi_2 \cdot (1-d^2 - 2d^2lnd)$$

$$G_3 = (1-\mu^2)(1-d^2) + \chi_1 \{(1+\mu) + (1-\mu)d^2\} + \chi_2$$

$$\{(1-\mu) + (1+\mu)d^2\} + \chi_1 \cdot \chi_2 (1-d^2)$$

$$G_4 = G_1 \{lnd - \frac{1}{2} \left( \frac{t_1}{B} + \frac{t_2}{dB} \right)\} - G_2 \{(1-d^2) + \left( \frac{t_1}{B} + \frac{dt_2}{B} \right)\} \\ + 2G_3 \{d(d - \frac{t_2}{B})lnd - \frac{1}{2} \left( \frac{t_1}{B} + \frac{dt_2}{B} \right)\}$$

以上の境界条件より

$$\bar{C}_{11} = \frac{G_1}{G_4} \cdot \frac{\bar{M}}{\bar{M}_{so}}, \quad \bar{C}_{21} = \frac{G_2}{G_4} \cdot \frac{\bar{M}}{\bar{M}_{so}}, \quad \bar{C}_{31} = \frac{G_3}{G_4} \cdot \frac{\bar{M}}{\bar{M}_{so}}$$

ここで

$$\chi_1 = \frac{\lambda_1 \cdot h (2 + \cosh \frac{\lambda_1 b_1}{B} + \cos \frac{\lambda_1 b_1}{B})}{2 t_1 (\sinh \frac{\lambda_1 b_1}{B} + \sin \frac{\lambda_1 b_1}{B})}$$

$$\chi_2 = \frac{\lambda_2 h (2 + \cosh \frac{\lambda_2 b_2}{A} + \cos \frac{\lambda_2 b_2}{A})}{2 t_2 (\sinh \frac{\lambda_2 b_2}{A} + \sin \frac{\lambda_2 b_2}{A})}$$

腹板に作用する断面力は

$$N_{so}^1 = \eta \cdot \bar{M}/B, M_{so}^1 = \delta \cdot \bar{M}$$

ここで

$$\eta = \frac{1}{G_4} \{ G_1 (1 - \frac{1}{d}) + 2G_2 (1 - d) + 2G_3 (1 - d - 2d \ln d) \}$$

$$\delta = \{ 1 + \frac{1}{G_4} (G_1 + 2G_2 + 2G_3) \{ 1 - d + \frac{1}{2} (\frac{t_1}{B} + \frac{t_2}{B}) \}$$

$$+ \eta (d - \frac{1}{2} \frac{t^2}{B}) \}$$

## 7 フランジから腹板に作用する力

モーメント、前断力、軸力が載荷された時、フランジから腹板に作用する力は、内応力との釣り合いにより、次の如くなる。

$$\bar{p}_{B,2} = \Psi \cdot \zeta_B \cdot \frac{d^2}{\xi}$$

$$\bar{p}_{A,2} = \Psi \cdot \zeta_A \cdot \frac{d^2}{\xi}$$

$$\bar{p}_{B,3} = \frac{\zeta_B \cdot d^2 \cdot \frac{\xi \cdot \delta - \eta}{\delta + \eta \cdot \gamma_s / B}}{\zeta + d^2 (\zeta_s - d \zeta_A) - \frac{\eta d^2 (\zeta_s - d^2 \zeta_A)}{\delta + \eta}}$$

$$\bar{p}_{A,3} = \bar{p}_{B,3} \cdot \frac{\zeta_A}{\zeta_B}$$

$$\bar{p}_{B,1} = - \frac{1 + \xi \cdot \gamma_s / B - (\bar{p}_{B,3} - d^2 \cdot \bar{p}_{A,3})}{(\delta + \eta \cdot \gamma_s / B) G_4} \cdot (G_1 + 2G_2 + 2G_3)$$

$$\bar{p}_{A,1} = - \frac{1 + \xi \cdot \gamma_s / B - (\bar{p}_{B,3} - d^2 \cdot \bar{p}_{A,3})}{(\delta + \eta \cdot \gamma_s / B) G_4} \cdot \{ \frac{G_1}{d^2} + 2G_2 + 2G_3 \}$$

フランジの有効幅は

$$\times (1 + 2 \ln d) \}$$

$$b = \frac{2 \int_{0}^{t_2} N \varphi dz}{N \varphi(z=0)} = \frac{2 \gamma_c (\sinh \frac{\lambda b}{\gamma_c} + \sin \frac{\lambda b}{\gamma_c})}{\lambda (2 + \cosh \frac{\lambda b}{\gamma_c} + \cos \frac{\lambda b}{\gamma_c})}$$

ここに

$$\zeta_B = \frac{4(d^{-2}-1) \cdot \frac{b_1}{h} \cdot \frac{t_1}{B} \cdot \{ d(1-d^2) + (1+3d^2) \cdot \frac{b_2}{h} \cdot \frac{t_2}{B} \}}{-d \{ (1-d^2) + (3-d^2) \cdot \frac{b_1}{h} \cdot \frac{t_1}{B} \} + \frac{b_2}{h} \cdot \frac{t_2}{B} \{ (1-3d^2) + 3(1-d^2) \cdot \frac{b_1}{h} \cdot \frac{t_1}{B} \}}$$

$$\zeta_A = \frac{4(d^{-2}-1) \cdot \frac{b_2}{h} \cdot \frac{t_2}{B} \cdot d^{-1} \{ (1-d^2) + (3+d^2) \cdot \frac{b_1}{h} \cdot \frac{t_1}{B} \}}{-d \{ (1-d^2) + (3-d^2) \cdot \frac{b_1}{h} \cdot \frac{t_1}{B} \} + \frac{b_2}{h} \cdot \frac{t_2}{B} \{ (1-3d^2) + 3(1-d^2) \cdot \frac{b_1}{h} \cdot \frac{t_1}{B} \}}$$

$$\zeta = 2[(1+d^2) \ln d + (1-d^2)] - d^2 [\frac{1}{2} (\zeta_B + d \cdot \zeta_A) + \frac{d \cdot \ln d}{1-d^2} (\zeta_A - d \zeta_B)]$$

$$\xi = \frac{\zeta [(\eta(1-d+\nu \cdot R/B) + \nu) - \nu \cdot d^2 (-\zeta_B + d \cdot \zeta_A)]}{\xi [\delta \cdot (1-d+\nu \cdot R/B) - \nu \cdot \gamma_s / B] + d^2 \nu \cdot \gamma_s / B \cdot (-\zeta_B + d \zeta_A) + \nu \cdot d^2 (\zeta_B - d^2 \zeta_A)}$$

$$\Psi = \frac{\beta}{1-d} \left\{ \frac{1 + \xi \cdot \frac{\gamma_s}{B} - \frac{R}{B} (\xi \cdot \delta - \eta) - (\bar{p}_{B,3} - d^2 \bar{p}_{A,3}) (1 + \eta \frac{R}{B})}{\delta + \eta \cdot \gamma_s / B} + \frac{R}{B} (\bar{p}_{B,3} - d \cdot \bar{p}_{A,3}) \right\}$$

## 8 数値計算例

(5)式より実際に数値計算を行なった。 $d$ に対する $k_M$ を図化したものが図6である。図中、 $r=1$ の場合は45の所に半径方向の補剛材を挿入しその補剛材の曲げ剛性

の、腹板の板剛度に対する比が1となる状態を示す。

又、純曲げモーメントを載荷した場合の応力分布の一例を図7に示す。

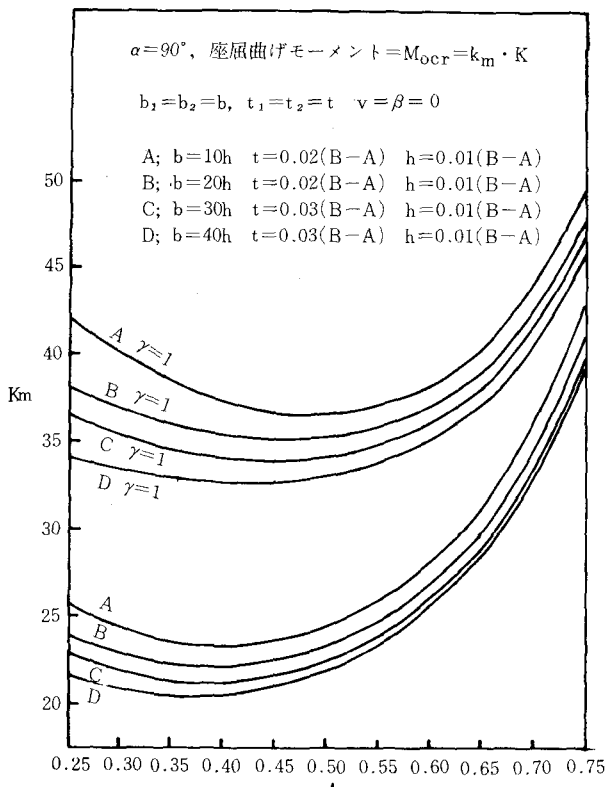


図-6

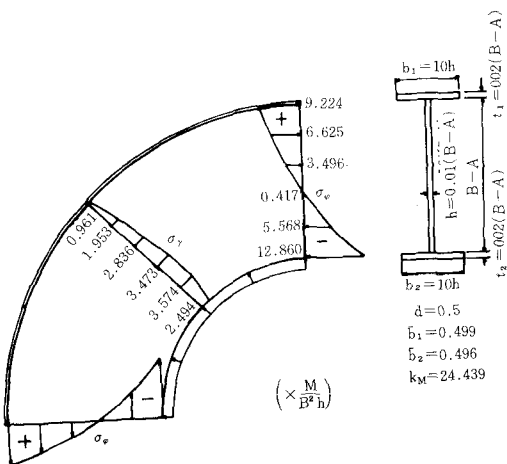


図-7

## 9 考 察

数値計算で得られた腹板の座屈値  $k_M$  は、フランジの大きさによって変化した。すなわち、 $k_M$  は、フランジが大きくなればなる程、小さくなつた。（図8参照）この結果は、次の理由によるものと思われる。

i ) フランジ幅が大きくなる程、 $r=A$ での  $\sigma_\phi$  は小さくなるが、腹板の座屈に関しては、 $\sigma_\phi$  より大きな影響を有する  $\sigma_r$  が大きくなる。

ii ) 外フランジ、内フランジの大きさが等しい場合、外フランジの有効幅は、内フランジの有効幅より大きくなる。その差は、フランジ幅が増せば増す程著しい。（図8参照）又、フランジ幅が増すと、外境界の方に中立軸が移動し、 $\sigma_\phi$  の圧縮領域が大きくなる。

次に、図9に、フランジを考えず単に周辺単純支持として得られた座屈値  $k_M$  とフランジを考慮した場合の  $k_M$  との比較を示した。これを見ると、フランジを考慮しない場合に得られた  $k_M$  の方が危険側になっている。これは、フランジを考慮しない場合、 $r=A, B$  での  $\sigma_r$  が零であり、従って、フランジから腹板に作用する力がないためであると思われる。

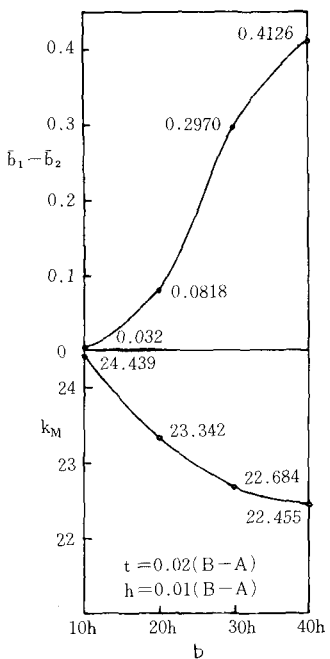


図-8

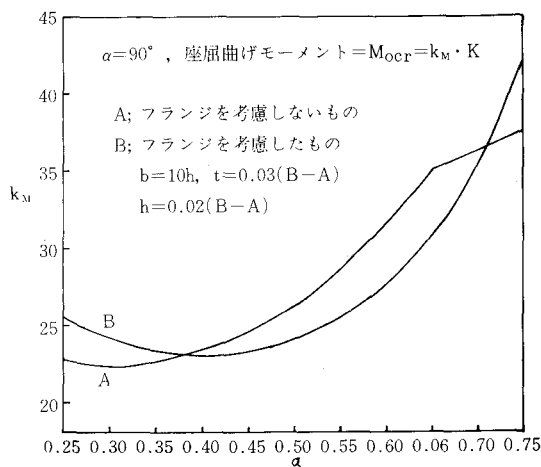


図-9

## 10 参考文献

"ラーメン隅角部の腹版の座屈値について" 第27回  
年次学術講演会講演概要集(昭和4年) : 渡辺, 川上,  
堺